



## اتوماسیون سازی سرعت خودرو (کروز) با استفاده از روش فازی بامعرفی الگوریتم علف های هرزبرای بهینه سازی

امیر ترابی<sup>۱</sup>, کاظم پوربدخشنان<sup>۲</sup> و سید کمال الدین موسوی مشهدی<sup>۳</sup>

<sup>1</sup> مؤسسه اموزش عالی خراسان مشهد، Amirtorabi1@gmail.com

<sup>2</sup> مجتمع اموزش عالی فنی و مهندسی قوچان K\_pour@yahoo.com

<sup>3</sup> دانشکده برق دانشگاه علم و صنعت ایران، Sk\_Mousavi@iust.ac.ir

ای در مورد پیش بینی امرکنترل در بزرگراه ها انجام گرفته است، که در این زمینه سنسورهای منعکس کننده امواج و دریافت کننده آن مورد استفاده قرار گرفته اند [۵]. از دیدگاه کنترلی، روش های مختلفی در سال ۱۹۹۶ kosecka در سال ۱۹۹۶ اینکه با استفاده از یک کنترلر تناسبی صرف برای استفاده در یک سیستم کنترلی با قابلیت تغییرات برای هر چند کنترلر فکر نمایند. اینکه اینها می توانند معمولاً برای مرجع و با خطای کم ارائه شده است [۸-۱۴]. کنترلر که برای سیستم فوق مورد استفاده قرار گرفت یک نوع کنترل PID بود که به نوعی قابلیت پیش بینی هم داشت و در سال ۱۹۹۰ ارائه گردید [۸]. وسیله نقلیه در گردش ۰.۰۰۴ و با سرعت ۲۸ متر بر ثانیه می توان اتوموبیل را کنترل نمود [۷].

### مدل سازی ریاضی

مدل سازی ریاضی وسیله نقلیه از دهه ۱۹۵۰ مورد مطالعه و بررسی قرار گرفت. مدل های وسائل نقلیه ای با شش درجه آزادی توسط LUNGER [۷] و Peng [۶] ارائه شد. tomizuka کاربردی بودن آنرا اثبات کردند. این مدل به دلیل پیچیدگی برای طراحی و کنترل مدل مناسبی نمی باشد و تنها بر روی کاغذ و بصورت صوری دارای جواب است و در شرایط اضطراری و اورژانسی نمی توان بدنان تکیه کرد.

### مدل وسیله نقلیه

وسیله نقلیه در این مقاله دارای ۲ درجه آزادی و دارای عملکرد خطی می باشد که این مدل در حقیقت ساده شده مدل پیچیده فوق الذکر می باشد. همچنین فرض شده سرعت ثابت و فاقد اغتشاش است. مدل خطی وسیله نقلیه با توجه به مرجع [۱۶] بصورت زیر بیان می گردد.

$$\begin{bmatrix} \dot{V}_y \\ \ddot{\Phi} \end{bmatrix} = \begin{bmatrix} \frac{C_f + C_r}{-(mV_x)} & -V_x + \frac{C_r l_r - C_f l_f}{mV_x} \\ -\frac{l_f C_f - l_r C_r}{I_z V_Z} & -\frac{l_f^2 C_f + l_r^2 C_r}{I_z V_x} \end{bmatrix} \begin{bmatrix} V_y \\ \Phi \end{bmatrix} \quad (1)$$

**چکیده:** در بزرگراه ها فرمان خودکار یک جزء حیاتی در بحث اتوماسیون سازی بزرگراه ها است، در حال حاضر در سراسر جهان برنامه های سیستم های هوشمند حمل و نقل بصورت گستردگی مورد بررسی قرار می گیرد. برای نائل شدن به هدف فوق از کنترلرهای PID بهمراه مشاهده بصری برای ایجاد کنترل اتوماتیک تحت شرایط مختلف بهره می جویند. اما این کنترل دارای چندان پاسخ سریعی نمی باشد و از آنجا که سیستم کروز سیستمی حساس بوده و باید در مقابل موانع و خطرات به سرعت واکنش نشان دهد نیازمند در یافتن پاسخ سریع از کنترلر هستیم، در این مقاله سعی شده است با اعمال کنترل فازی خلاصه فوق را بر طرف نماییم. همچنین الگوریتم بهینه سازی علف های هرز برای به دست آوردن ضرایب مناسب برای کنترل کننده فازی معرفی می گردد. در ادامه شبیه سازی هایی برای مقایسه پاسخ های هر دو کنترل برای اثبات مزیت های فازی آورده شده است.

### واژه های کلیدی:

الگوریتم علف هرز، رادار، کروز، کنترل سرعت، کنترل کننده فازی

### مقدمه

همانطور که اشاره کنترل فرمان اتوماتیک یک جزء حیاتی در بحث اتوماسیون سازی جاده ها می باشد که این امر در سالهای اخیر به شدت مورد توجه قرار گرفته است. در مورد اتوماسیون سازی جاده ها shladover bender تحقیقات جامعی انجام داده اند [۳][۲]. در اصل بحث کنترل وسیله نقلیه از دهه ۵۰ مورد بررسی قرار گرفته شده است [۴]. مسئله کنترل فرمان اتوماتیک دو بحث اصلی را طلب می کند: حس کردن<sup>۱</sup> و کنترل<sup>۲</sup>. در حقیقت امر کنترل از دو مقوله نگاه به وضعیت فعلی و پیش بینی تشکیل شده است. سیستم های پیش بینی جایگزین رفتار شخص راننده در حین رانندگی بوسیله اندازگیری فاصله وسیله نقلیه در موقعیت های مختلف، می شود. تحقیقات گسترده

# سومین کنفرانس بین المللی اتوماسیون صنعتی

Iran's Third International Conference on Industrial Automation



۳۰ بهمن ماه ۱۳۹۱ - پژوهشگاه صنعت نفت

با مشتق گیری از معادله (3) و جانشین سازی با معادلات (7) و (9) سرعت جانبی در فاصله  $L$  بصورت:

$$(9)$$

می باشد که  $V_x$ ،  $V_y$  و  $\phi$  دات سرعت های طولی و جانبی سرعت حول محور  $Z$  گردش دور خود می باشد. همچوین  $\delta$  برابر است با زاوی فرهنگی و قوهای پیلار  $K_L$  که باعث خواهد شد زیرا دینامیک سیستم

خواهد شد.

بنابر این دینامیک بصری که بتواند حرکت وسیله نقلیه را نسبت به جاده توصیف کند بصورت زیر خواهد بود.

$$\dot{h}_\Phi = V_x K_L - \dot{\Phi} \quad (10)$$

$$y = C_x$$

مدل بحمیل شده

مدل تکمیل شده برای وسیله نقلیه در این مقاله شامل مدل خود وسیله که در معادله (1) به آن اشاره شد و معادلات (11) و (12) که مربوط به معادلات سیستم بصری بودند. با ادغام سازی این معادلات خواهیم داشت:

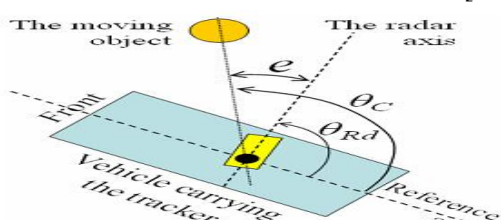
$$x^T = [V_y \Phi y_v h_\Phi] \quad \text{از آنجاکه داریم:}$$

$$y^T = [y_v h_\Phi w] \quad \text{و} \quad w = K_L u = \delta_f \quad \text{می توان با ساده سازی به ماتریس} \\ \text{های} \quad C \quad \text{و} \quad B \quad \text{رسید}$$

$$A = \begin{bmatrix} -\frac{c_f + c_r}{m v_x} & -V_x + \frac{c_r l_r - c_f l_f}{m v_x} & 0 & 0 \\ -\frac{l_f c_f - l_r c_r}{l_z v_x} & -\frac{l_f^2 c_f + l_r^2 c_r}{l_z V_x} & 0 & 0 \\ 1 & -L & 0 & -V_x \\ 0 & -1 & 0 & 0 \end{bmatrix} \quad (11)$$

$$B = \begin{bmatrix} c_f & l_f c_f \\ m & l_z \end{bmatrix} \quad 0 \quad 0 \quad C = \begin{bmatrix} 0 & 0 & 1 & 0 \\ 0 & 0 & 0 & 1 \end{bmatrix}$$

که بصورت اغتشاش خارجی به سیستم وارد می گردد. در انتهای پارامترهای عددی لازم برای انجام شبیه سازی ها آورده می شود.



شکل 2: تصویر زوایای اتوموبیل [1]  
انتخاب کنترل:

مدل توصیف شده در معادله (1) از مختصات جاده مستقل است. برای توصیف وسیله نقلیه نسبت به جاده مختصات جغرافیابی آن مورد توجه و مدل سازی قرار می گیرد. شکل (1) نشان می دهد که تعقیب وردیابی وسیله نقلیه را باستفاده از منحنی خمیدگی جاده که بانماد نشان داده می شود، می توان مدل کرد. که  $\dot{x} = \frac{V_x}{R_L} K_L A x + B u + E_w$  می باشد و  $R_L$  برابر شعاع جاده در هر لحظه می باشد. در این مقاله، فرض شده است که وسیله نقلیه دارای سیستمی بصری است. در گذشته برای تخمین زدن و پیش بینی، سیستم بصری میزان انحراف از خط ممتد در وسط جاده ( $y_L$ ) و زاویه بین تانژانت جاده و مسیر پیشرو وسیله نقلیه

( $E_L$ ) مورد اندازگیری قرار می گرفت. که در این حالت از مقادیر  $y_L$  برای تخمین خطای جانبی  $y_v$  استفاده می گردد. از شکل (1) داریم:

$$y_L = y_v + y_o \quad (2)$$

ده  $y_L$  خطای مجانبی واقعی در  $L$  (فاصله پیش بینی) و  $y_o$  هم میزان انحراف از انحنای جاده می باشد. با توجه به جدول (1) و بافرض کوچک بودن  $h\phi$  خطای مجانبی را بصورت زیر می توان بیان نمود:

$$y_v = y_{cg} + L h_\Phi \quad (3)$$

همچنین با توجه به شکل (1) سرعت  $y_{cg}$  برابر است با:

$$y_{cg} = V_B - V h_\Phi \quad (4)$$

با فرص دوچک بودن زوایای  $\beta$ ،  $\phi$ ، and  $\delta$  خواهیم داشت:

$$V_x = V \cos(\beta) = V \quad (5)$$

$$V_y = V \sin(\beta) = V \beta$$

بنابر این زاویه یا ( $\phi$ ) وسیله نقلیه نسبت به جهت مبنای دلخواه به صورت:

$$\Phi = \Phi_d - \Phi_\phi \quad (6)$$

بیان می گردد. که  $\phi_d$  زاویه یا مطلوب با توجه به خمیدگی جاده می باشد. سرعت یا و نسبت به سیستم مختصات اینرسی برابر است با:

$$\dot{\Phi} = \dot{\Phi}_d - h_\Phi \quad (7)$$

ده عبارت

$$= V K_L = V_x K_L \Phi_d \quad (8)$$

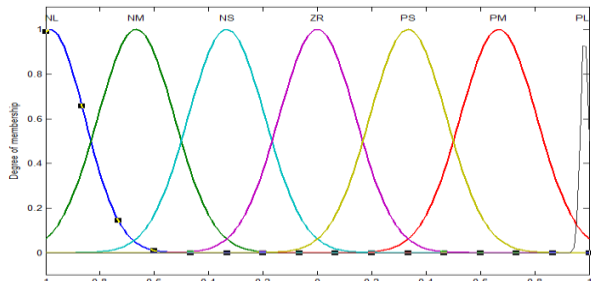
بخاطر ثابت بودن منحنی جاده ( $K_L$ ) و سرعت طولی  $V_x$  مقداری ثابت است.

# سومین کنفرانس بین المللی اتواسیون صنعتی

Iran's Third International Conference on Industrial Automation



۳ و ۴ بهمن ماه ۱۳۹۱ - پژوهشگاه صنعت نفت

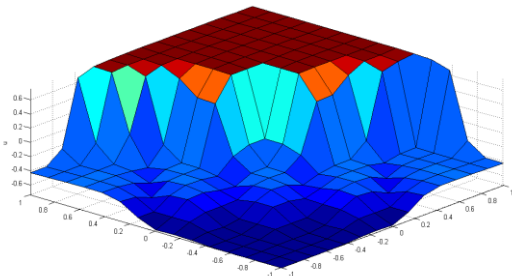


شکل 4: توابع عضویت برای دو ورودی  
بانک قواعد(رول) که برای این کنترلر ایجاد شده است به شرح زیر  
می باشد.

جدول 1: بانک قواعد کنترلر فازی

$E/E$	$NL$	$NM$	$NS$	$ZR$	$PS$	$PM$	$PL$
$PL$	$NS$	$ZR$	$PS$	$PM$	$PL$	$PL$	$PL$
$PS$	$NM$	$NS$	$ZR$	$PS$	$PM$	$PL$	$PL$
$ZR$	$NL$	$NM$	$NS$	$ZR$	$PS$	$PM$	$PL$
$NS$	$NL$	$NL$	$NM$	$NS$	$ZR$	$PS$	$PM$
$NM$	$NL$	$NL$	$NL$	$NM$	$NS$	$ZR$	$PS$
$NL$	$NL$	$NL$	$NL$	$NL$	$NM$	$NS$	$ZR$

شکل 5: مربوط به این کنترلر در زی نشان داده می شود.



شکل 5: تصویب کنترلر فازی

## الگوریتم علف های هرز

الگوریتم علف های هرز مهاجم برای متغیرهای پیوسته این الگوریتم جزو روش های بهینه سازی جمعیت محور بوده و از رفتار کلونی علف هرز الهم گرفته شده است، این روش اولین بار توسط Lucos و Mehrabian معرفی شد. الگوریتم IWO یک الگوریتم بسیار ساده و در عین حال موثر در یافتن نقاط بینه عملکرد توابع می باشد که براساس ویژگی طبیعی علف های هرز مانند تولید بزرگ، رشد و تنفس برای بقا دریک کلونی عمل می کند، IWO مقایسه با سایر الگوریتم های بهینه سازی مانند الگوریتم ژنتیک ساده تر بوده و توانایی و سرعت خوب در همگرایی به سمت نقطه بهینه عمومی تابع را دارد. برخی از ویژگی های اصلی این الگوریتم که آن را از دیگر روش

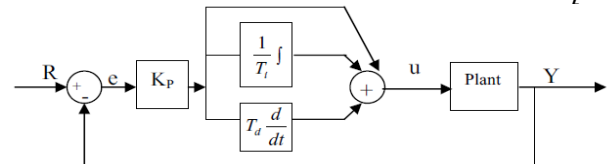
در چند دهه اخیر  $FLC$  به عنوان متمم و کامل کننده کنترلر های مرسوم شناخته شده است. کنترلر هایی که براساس منطق فازی عمل می کنند در سیستم های غیر خطی حتی از نوع غیر قطعی هم (*uncertain*) عملکرد مناسبی دارند. برخلاف کنترلر های مرسوم  $FLC$  نیاز چندانی به اطلاعات دقیق ندارند. علی رغم تحقیقات و راه حل های فراوان در رابطه با سیستم های فازی هنوز هم حدود ۹۰٪ همچنان از کنترلر های PID استفاده می گردد. از جمله دلایل این اقبال نسبت به این کنترلر ها را می توان به صورت زیر بیان نمود:

- 1- کنترلر های PID مستحکم و باطریحی ساده ای هم دارند.
- 2- وجود رابطه بین کنترلر PID و پاسخ سیستم، که در نتیجه آن اپراتور در زمینه ماهیت سیستم می تواند از روی پاسخ سیستم اطلاعاً تی به دست آورد.

-3- در چند دهه اخیر بر روی برخی پروسه های کنترلی ضرائب PID مشخصی تعیین شده است که وظیفه متصدیان امر کنترل را سبک تر می کند.

- 4- امروزه بیتر کنترلر های PID صنعتی این قابلیت را دارند که به صورت اتوماتیک بتوان ضرایب PID مناسب را تخمین زد. در حقیقت کنترل فازی بین دو اصل هوش مصنوعی و مهندسی کنترل قرار دارد که در عمل مورد استفاده قرار می گیرد.
- 5- سیستم را حذف می کند و عامل مشتقی پایداری سیستم حلقه بسته را بهبود می بخشد. روابط بین این پارامتر ها به صورت زیر است.

[17]



شکل 3: نمایش کنترلر [14]

بعد از تنظیم ضرایب PID ضرایب فازی را هم با توجه به پروسه تنظیم نموده و در صورت بکار بردن رول ها نبایز توابع عضویت مربوط مناسب برای ورودی ها و خروجی شکل موجی که از خروجی استخراج می شود به مراتب بهتر از مدل مشابه کنترلر فازی می باشد. در ادامه رول ها و قواعد نوشته شده برای کنترل این پروسه نشان داده خواهد شد. این رول ها بطور مشابه برای دو ورودی خطأ و تغییرات خطأ عمل می شده اند.

# سومین کنفرانس بین المللی اتواسیون صنعتی

Iran's Third International Conference on Industrial Automation



۳۰ بهمن ماه ۱۳۹۱ - پژوهشگاه صنعت نفت

جایگزینی می یابند. مکانیزم کنترل جمعیت به نسل های بعد هم تاریخیدن به انتهاه دوره (آخرین تکرار) اعمال می شود.

## صورت باینری آلگوریتم IWO

صورت باینری آلگوریتم IWO در مرجع [20] رائه شده است. در این مرجع پیشنهاد شده است برای استفاده از الگوریتم به صورت باینری باستی دو تغییر در آن ایجاد شود. از یک طرف تمام متغیر ها باستی بصورت باینری نشان داد شود که در این صورت تنهاده ای دو مقدار صفر و یک خواهد بود. از سویی دیگر باید عملگر پراکنده (فضای پراکنده) در فضای جستجو با فرم باینری مطابقت داده شود. دلیل این امر اینست که رابطه (12) که در صورت اصلی الگوریتم برای تعیین موقعیت بذرهای جدید بکار می رود در حالت باینری به دلیل عدم مفهوم مقدار  $N(0, \delta_{iter})^n$  برای حالت باینری غیر قابل استفاده است، چرا که مقدار  $N(0, \delta_{iter})^n$  فقط می تواند شامل دو مقدار صفر و یک باشد که با این شرایط عملگر جمع (+) بکار رفته در رابطه (12) بی معنی خواهد بود.

$$S_i = W_i + N(0, \delta_{iter})^n \quad (15)$$

رابطه فوق نشان می دهد که موقعیت بذر جدید یک نقطه در همسایگی گیاه والد است، که شعاع این همسایگی توسط مقدار  $\delta_{iter}$  کنترل می شود و مکانیزم تبدیل آلگوریتم را ادامه می دهد.

الگوریتم بهینه سازی علف هرز مهاجم باینری (BIWOA) عبارت از  $N(0, \delta_{iter})^n$  مطابق مراحل زیر تعریف می گردد:

گام 1- تعیین تعداد بیت هایی که باید در بذر تولیدی تغییر یابند (Rbits).

(به منظور عملکرد بهتر آلگوریتم از توزیع نرمال  $N(0, \delta_{iter})^n$  برای تعیین این بیت ها استفاده می شود. همچنین به دلیل بی معنی بودن مقدار منفی در حالت باینری از مقادیر مثبت این توزیع  $N(0, \delta_{iter})^n$  استفاده می شود).

گام 2- محاسبه مقدار احتمال تغییر هربیت بر اساس تعداد Rbits.

$$P_{change} = \frac{r_{bits}}{n} \quad (16)$$

کام 3- گیاه  $i$  جایگزین بذر  $j$  می شود. ( $S_i = W_i$ )

گام 4- تمام  $n$  بیت بذر تولیدی مطابق با احتمال تغییر  $P_{change}$  تغییر می کنند. این مرحله شبیه عملگر جهش در آلگوریتم ژنتیک است با این تفاوت که در GA مقدار جهش از قبل مشخص می شود ولی در BIWO این مقدار در هر مرحله و بر اساس توزیع نرمال تعیین می شود. این روش تعداد بیت های تغییر باقته را کاهش داده و سبب نزدیکی بیشتر بذر تولیدی به گیاه والد می شود.

باتوجه به مطالب فوق تمام مراحل ارائه شده برای صورت اصلی آلگوریتم در صورت باینری نیز صادق است و تنها تفاوت در نحوه پراکنده گی بذرهای تولیدی در فضای جستجو است [1].

ها متمایز می کند عبارتنداز باز تولید، فضای پراکنده و رقبا و انصاری. این الگوریتم بالا الگوریتم ژنتیک، الگوریتم جهش قورباغه و الگوریتم اجتماع ذرات (PSO) مقایسه شده، نتایج حاصل نشان می دهد که IWO به خوبی روش های ذکر شده و حتی گاهای بسیار بهتر از آنها عمل می کند. به منظور شبیه سازی رفتار علف هرز یا آلگوریتم IWO مراحل زیر را نجات می دهیم:

گام 1: تولید جمعیت اولیه: یک جمعیت مشکل از تعدادی بزرگراه حل های اولیه با تعداد اعضا برابر با  $N$  در فضای  $n$  بعدی مسئله به صورت تصادفی پخش می شود.

گام 2- تولید مثال (باز تولید): هر بذر شروع به رشد کرده و به یک گیاه بالغ تبدیل می شود. شروع به تولید بزرگ نسل جدیدتر می کند. تعداد بذرهایی که هر گیاه تولید می کند به صورت خطی بین مقادیر حداقل ( $S_{min}$ ) و حداکثر ( $S_{max}$ ) ممکن بذرهای تولیدی افزایش می یابد.

تعداد این بذرهای تولیدی برای گیاه  $i$  در هر تکرار وابسته به مقدار گیاه  $i$  در هر تکرار وابسته به مقدار هدف خود گیاه ( $F_i$ )، و نیز بهترین ( $F_g$ ) و بدترین ( $F_w$ ) مقدار هدف در آن تکرار است و از رابطه (11) به دست می آید:

$$Num\_seeds(i) = \frac{F_i - F_w}{F_g - F_w} \times (S_{max} - S_{min}) + S_{min} \quad (12)$$

گام 3- فضای پراکنده: تصادفی بودن و همگون سازی آلگوریتم مربوط به این قسم است. بذرهای تولیدی در  $n$  بعد فضای جستجو به صورت تصادفی با توزیع نرمال با میانگینی برابر صفر و واریانس متفاوت  $N(0, \delta_{iter})^n$  پخش می شوند، در این حالت بذرها نزدیک گیاه والد خواهند بود. هر چند انحراف معیار نتایج رضایت بخشی می دهد که به صورت زیر نشان داده می شود:

$$\delta_{iter} = \left( \frac{iter_{max} - iter}{iter_{max}} \right)^{\lambda} \times (\delta_{start} - \delta_{stop}) + \delta_{stop} \quad (13)$$

در رابطه (13) بیشترین تکرار  $iter_{max}$  از انحراف معیار تکرار مربوطه (iter) و ضریب مدولاسیون غیر خطی است. در این حالت

موقعیت بذرها ( $S_i$ ) برابر  $i$  امین گیاه ( $F_i$ ) از رابطه زیر بدست می آید:

$$S_i = W_j + N(0, \delta_{iter})^n, 1 \leq j \leq num\_seeds(i) \quad (14)$$

گام 4- رقبا و انصاری: با اگذشت چند تکرار تعداد گیاهان توسط باز تولید سریع به حداکثر تعداد ( $W_{max}$ ) خودمی رسد، در این حالت هر گیاه اجازه دارد بذرهای مطابق باز تولید ایجاد کند. بذر هماجاذب در فضای جستجو مطابق روش فضای پراکنده گسترش یابند. زمانی که بذرها موقعیت خود را یافتنند در کنار و الدینشان باهم و به صورت یک کلونی قرار می گیرند. سپس اعضای برازندگی بدتر حذف می شوند تا عدد اعضا به ماکزیمم مجاز برسد در این روش والدین و فرزندانشان با هم ترکیب شده و از بین آنها گیاهانی که بهترین برازندگی را دارند حفظ شده و اجازه را

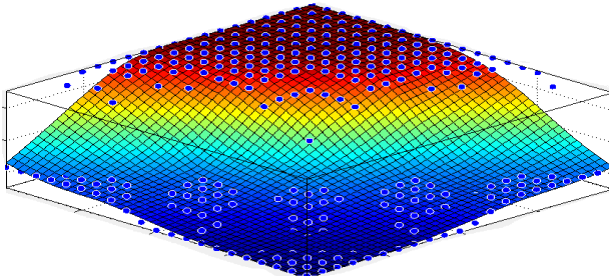
# سومین کنفرانس بین المللی اتواسیون صنعتی

Iran's Third International Conference on Industrial Automation



۳۰ بهمن ماه ۱۳۹۱ - پژوهشگاه صنعت نفت

نتایج رگرسیون فازی، کنترلر فازی:  
براساس موارد ذکر شده در مورد  
رگرسیون، کنترلر فازی نشان داده شده است.



شکل 6: نمای مربوط به رگرسیون فازی *surface*  
معادله خطی مربوط به این کنترلر عبارتست از:  
$$F(X,Y) = P_0 + P_1X + P_2Y + P_3X^2 + P_4X*Y + P_5Y^2 \quad (19)$$

مقادیر عددی ضرایب فوق عبارتند از:

$$\begin{aligned} P_0 &= -0.04699 \\ P_1 &= 1.22 \\ P_2 &= 1.208 \\ P_3 &= 0.00719 \\ P_4 &= 0.1923 \\ P_5 &= 0.002203 \end{aligned}$$

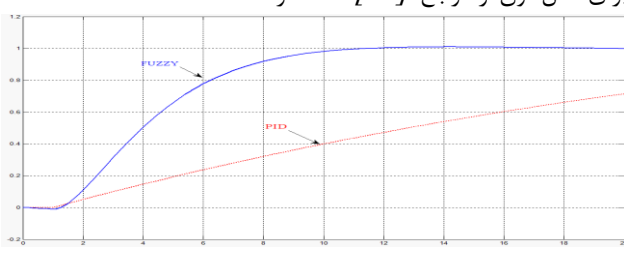
لازم به ذکر است در مدل فوق ضرایب  $X$  و  $Y$  هردو تا توان دو مورد بررسی و شبیه سازی قرار گرفته اند.

در نهایت خطاهای *R-square* (میانگین مربع ریشه ها) و *RMSE* (انحراف معیار) عبارتند از:

$$\begin{aligned} R\text{-square: } &0.6831 \\ RMSE: &0.6904 \end{aligned}$$

## شبیه سازی:

در قسمت پایانی شکل موج خروجی ناشی از دو ورودی با دو کنترلر فازی و *PID* بوده است را نشان داده شده است. بدیهی است با دادن ضرایب مناسب برای کنترلر فازی شکل موج خروجی که در اینجا پله به سیستم اعمال گشته دارای شکلی مطلوب تر نسبت به *PID* می باشد. لذا در کنترلر کروز مناسب تر این است که از آن استفاده گردد. برای مدل فوق از مرجع [18] کمک گرفته شده است.



شکل 7: نمایش خروجی کنترلر فازی و *PID*

در اینجا لازم به ذکر می دانیم که از این الگوریتم می توان برای به دست آوردن ضرایب مناسب برای کنترل فازی استفاده نمود و مادراینجا فعلا از همان روش سعی و خطاب را به دست آوردن ضرایب مناسب استفاده نموده ایم. و هدف اصلی از باز کردن این الگوریتم در حقیقت معرفی آن به عنوان یک الگوریتم جدید و مدرن برای بحث بهینه سازی است.

## رگرسیون فازی:

تحلیل رگرسیون با مدل کردن رابطه بین متغیرهای وابسته و متغیرهای مستقل جهت پیش بینی مقادیر متغیرهای وابسته بر اساس متغیرهای مستقل بکار می رود. تحلیل رگرسیون متغیر وابسته ( $y$ ) تابعی از متغیرهای مستقل است و درجه مشارکت یافش هر متغیر مستقل در خروجی (متغیر وابسته) توسط ضرایب متغیرهای ایجاد می شود. مدل رگرسیون بر اساس داده های جمع آوری شده و مشاهدات ساخته می شود که مدل عمومی واستاندارد رگرسیون خطی در حالت کلاسیک بصورت زیر است:

به طوریکه متغیر وابسته  $y_i$ ، متغیرهای مستقل  $x_{ij}$  و پارامترهای مدل یا همان ضرایب متغیرهای مستقل ( $\beta_j$ ) مقادیر قطعی هستند و همین طور عخطای تصادفی مدل رگرسیون است بطوریکه:

$$\begin{aligned} E(\varepsilon_i) &= 0 \\ V(\varepsilon_i) &= \sigma^2(\varepsilon_i) = \sigma^2 \end{aligned} \quad (17)$$

## مدل عمومی رگرسیون فازی

در روش های رایج رگرسیون، تفاوت بین مقادیر مشاهده شده و مقادیر پیش بینی شده توسط مدل، خطای پیش بینی در مقایسه با مشاهدات بوده و یک متغیر تصادفی فرض می شود. حد بالا و حد پایین مقادار پیش بینی محاسبه شده و احتمال قرار گرفتن مقدار پیش بینی در بین این دو حد بیانگر اطمینان تخمین است. به عبارت دیگر مدل های

رایج رگرسیون، ساختار احتمالی دارند. در حالی که در رگرسیون فازی، اختلاف بین مقادیر پیش بینی و مشاهده شده ناشی از ابهام ذاتی درسیستم است. مقدار خروجی برای ورودی بروزی می شوند. بدینه ممکن فرض می شود. بنابراین در رگرسیون فازی، امکان پذیری

مقدار خروجی با توجه به مقادیر متغیرهای ورودی بروزی می شوند. بدینه مدل، عمومی، رگرسیون خطی فازی به شرح فوق است:

$$Y = f(x, \tilde{A}) = \tilde{A}_1 x_1 + \tilde{A}_2 x_2 + \dots + \tilde{A}_n x_n \quad (18)$$

به طوری که،  $\tilde{A}$  عدد فازی  $I$  امین است.

رگرسیون فازی یک دامنه مقادیر ممکن را که با یک تابع توزیع امکان (تابع عضویت) همراه است پیش بینی می کند توابع عضویت با تخصیص درجه های عضویت مشخص به مقادیر پیش بینی شده شکل می گیرند. همچنین توابع عضویت برای ضرایب متغیرهای مستقل نیز تعریف می شوند.

# سومین کنفرانس بین المللی اتواسیون صنعتی

Iran's Third International Conference on Industrial Automation



۳ و ۴ بهمن ماه ۱۳۹۱ - پژوهشگاه صنعت نفت

*Automatic Vehicle Guidance. Proc. of the 5th ICCV. 61-66.*

[6] Kosecka, J. 1997. Vision Based Lateral Control of Vehicle: Look - Ahead and Delay Issues.

Internal

[7] Lugner, P. 1997. The Influence of the Structure of Automobile Models and Type Characteristics on the Theoretical Results of Steady-State and Transient Vehicle Performance.

[8] Peng, H., and M. Tomizuka. 1990. Vehicle Lateral Control for Highway Automation.

[9] Hessburg, T., and M. Tomizuka. 1991. A Fuzzy Rule-based Controller for Automotive Vehicle Guidance.

[10] Peng, H., and M. Tomizuka. 1993. Preview Control for Vehicle Lateral Guidance in Highway Automation.

[11] Pham, H., K. Hedrick, and M. Tomizuka. 1994. Combined Lateral and Longitudinal Control of Vehicles.

[12] Ackermann, J., J. Guldner, W. Sienel, and R. Steinhauser. 1995. Linear and Nonlinear for Controller Design Robust Automatic Steering. *IEEE Trans. on Control Systems Technology*. 3: 132-143.

[14] A PHOTOVOLTAIC POWERED TRACKING SYSTEM FOR MOVING OBJECTS

[15] AN INTELLIGENT HYBRID FUZZY PID CONTROLLER.

[16] Peng, H., and M. Tomizuka. 1990. Vehicle Lateral Control for Highway Automation

[17] VISION BASED AUTOMATIC STEERING CONTROL USING A PID CONTROLLER, *Jurnal Teknologi*, 44(A) Jun 2006

نتیجه گیری:

سیستم کنترل سرعت امروزه جزء قطعات اصلی در خودکارسازی وسایل نقلیه می باشد. این قطعه به خاطر وظیفه ای که در کل پروسه کنترل بر دوش دارد نیازمند سرعت بالا در پاسخ به ورودی می باشد که در گذشته که کنترلرهای PID استفاده می شدند این قطعات دارای سرعت پایین تری نسبت به کنترلر فازی امروزی هستند. هدف اصلی در این مقاله ارائه کنترل کننده فازی و نمایش عملکرد مناسب وسريع این کنترل کننده نسبت به کنترل کننده PID با نشان دادن خروجی های شبیه سازی واپیت بهترین این کنترل کننده بود. همچنین مشاهده شد که در ادامه الگوریتم علف های هرز برای به دست آوردن ضرایب منابع برای فازی معرفی گشت. سرنجام در بخش انتهایی مدل رگرسیون فازی برای محاسبه خطای ضرایب مربوطه برای مدل خطی فازی رگرسیون نشان داده شده است.

مراجع:

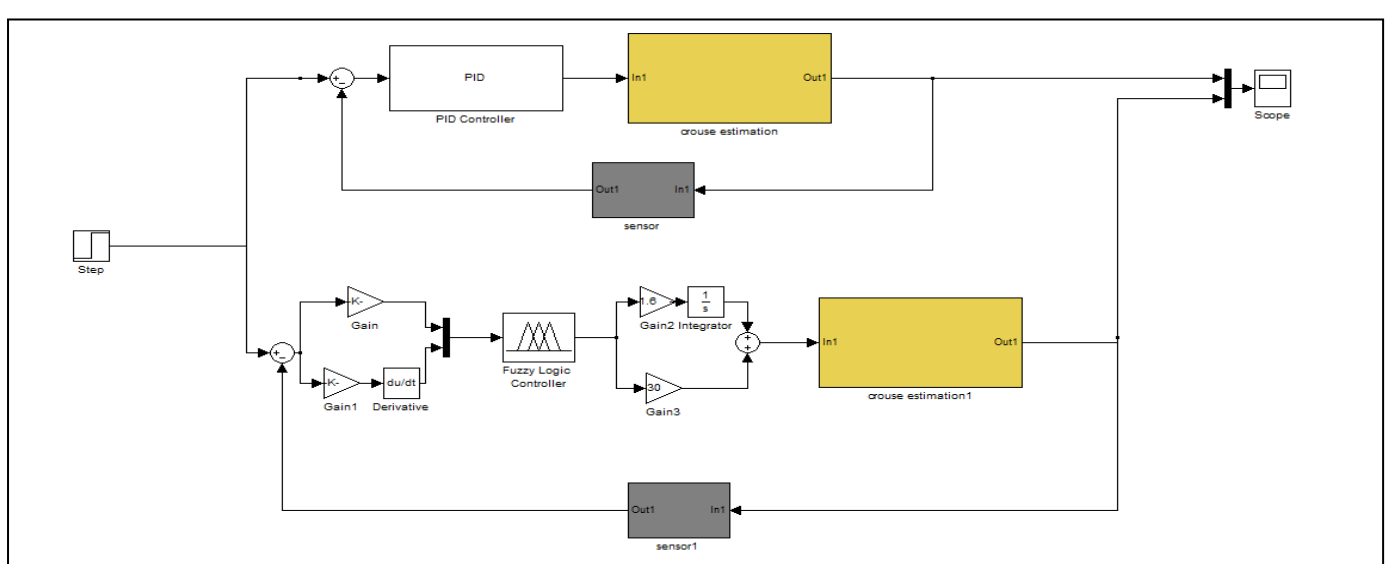
[1] حسین شایقی، بهزاد اسماعیل نژاد، بازیابی بارشکه توزیع با استفاده از الگوریتم بهینه سازی علف هرز مهاجم باینری، چهارمین کنفرانس مهندسی برق الکترونیک ایران، گناباد، شهریور سال ۱۳۹۱

[2] Shladover, S. E. 1995. Review of the State of Development of Advanced Vehicle Control Systems (AVCS). *Vehicle System Dynamics*. 24: 551-595.

[3] Automobile Steering Control. Proc. Auto. Div Instn, Mech. Eng. No. 7. Department of EECS, University of California, Berkeley.

[4] Segel, L. 1956-57. Theoretical Prediction and Experimental substantiation of the response of the automobile steering control

[5] Luong, Q. T., J. Weber, D. Roller, and J. Malik. 1995. An Integrated Stereo-based Approach to



شکل 8: شبیه سازی کنترلر فازی و PID در محیط متلب